

Fig. 2

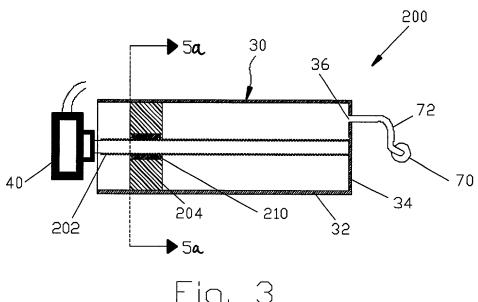


Fig. 3

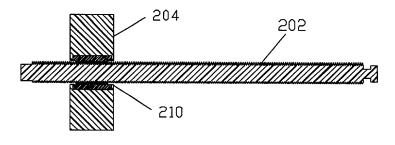
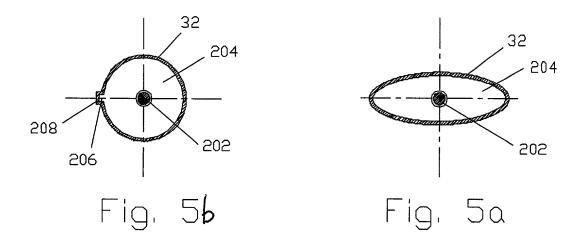
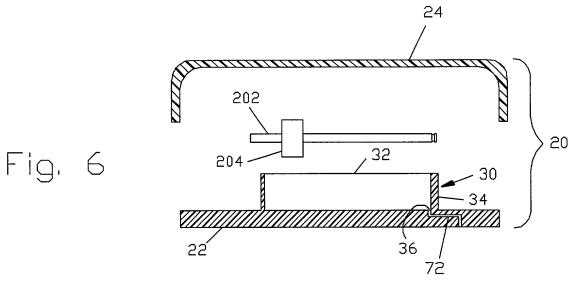
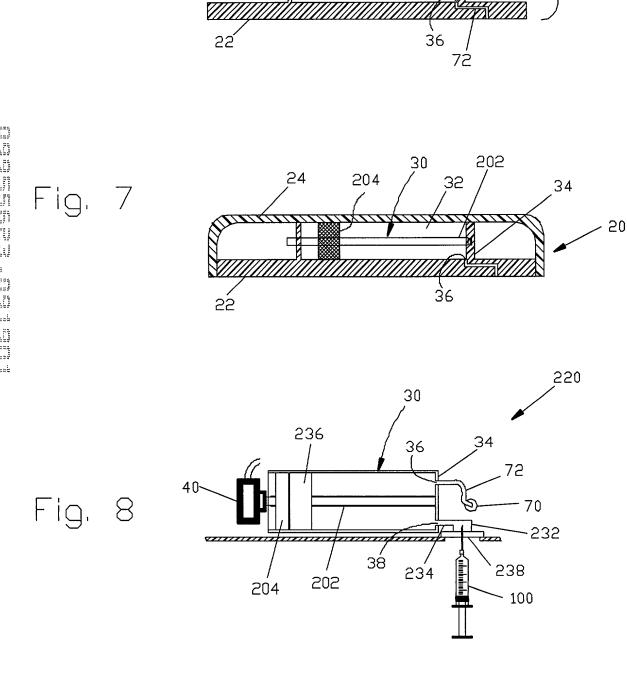
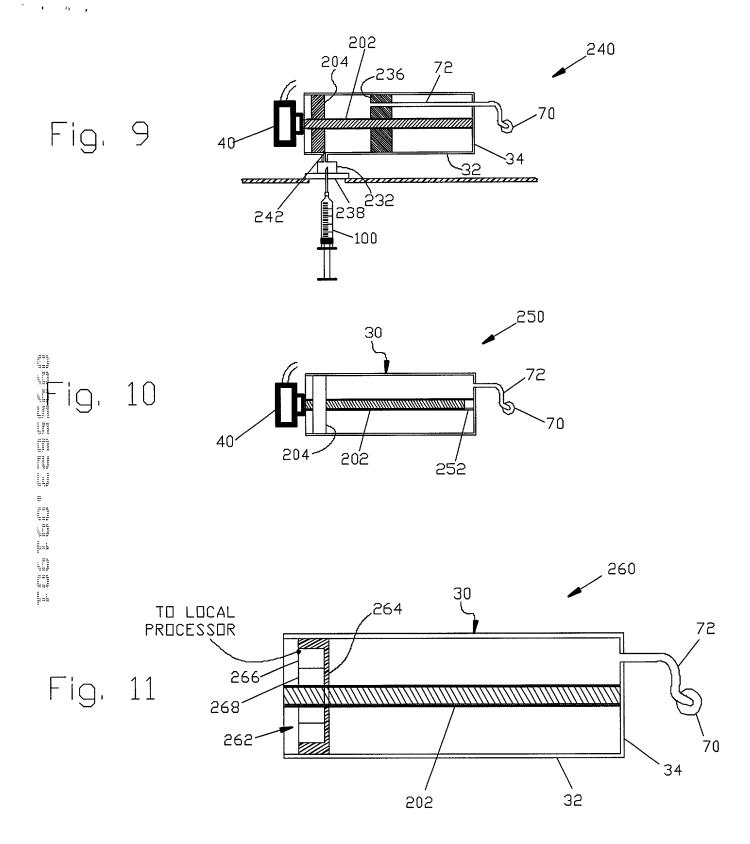


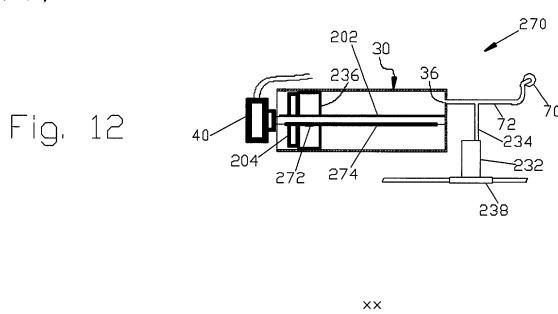
Fig. 4



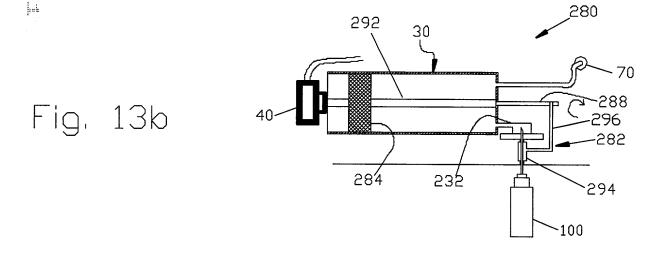


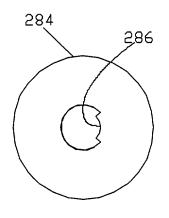


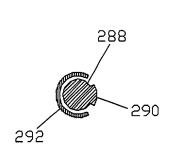




and the constitution of th ~288 ·296 ig. 13a 







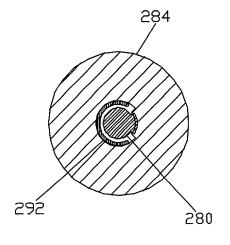


Fig. 14

Fig. 15

Fig. 16

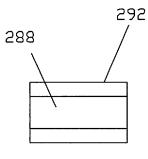


Fig. 17a

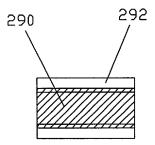
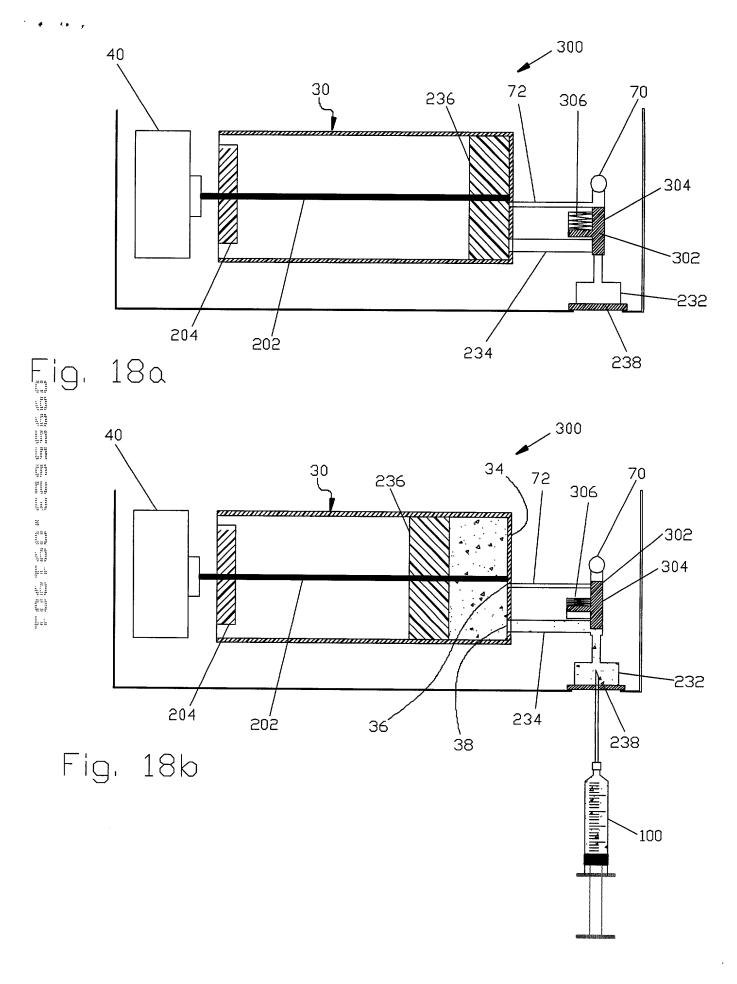


Fig. 17b



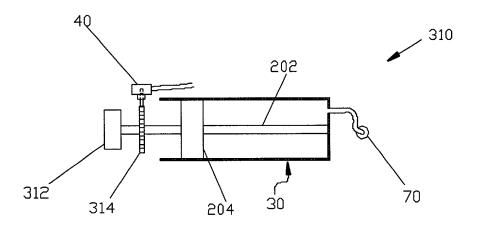


Fig. 19

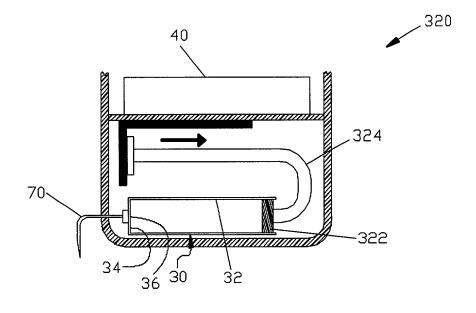


Fig. 20